

Na-Ba

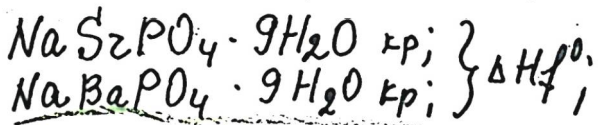


2069

2066

Joly

Na₂SnP₂O₇ · 9H₂O, XE97 (1225)



Circ. 500

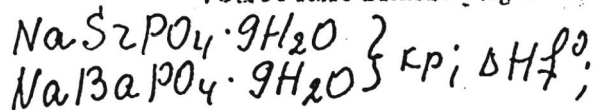
H

1981

1987

Barthélémy

102. Ann. chim. phys. 13, 350 (1987)

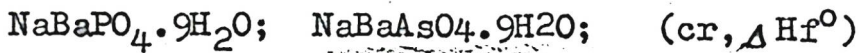
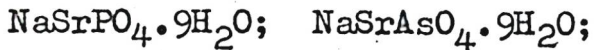


Circ. 500

+1

2070

1887



Joly
S.C.R. 104, 1702, 1887

M

Circ. 500

VIII - 1979

1951

CeCl₃-NaCl-BaCl₂, CeCl₃-CaCl₂-NaCl,
CaCl₂, CeCl₃, CeCl₃-CaCl₂-BaCl₂
(T_m, T_{tr})

Nishihara K., Shiozaki Y., Morita N.,
J. Electrochem. Soc. Japan, 1951, 19, 105-106

B, A₁

erroneous Q.K.

Na_{72}Ba , Na_6Ba , NaBa . / T_m
X-5607 1957

Remy H., Wolfgang G.,

Haase H.-W.,

Naturwissenschaften

1964, 44, 020, 534-35

PM, 1958, 10523

B, Au

еер Ф.К.

1094

1960

NaBa; Na_6Ba ; Na_{12}Ba (Tm)

Remy H., Wolfrum G., Haase H.W.

Schweiz. Arch. angew. Wiss. und Techn.,
1960, 26, N 1, 5-9

Das System Natrium-Barium.

Be, A1

F

PM, 1960, N8, 18387



eerste op. k

1089 -X-B2

1961

NaCaPO₄; NaSrPO₄; NaBaPO₄; NaCaAsO₄;
NaSrAsO₄; NaBaAsO₄; NaCaVO₄; NaSrVO₄;
NaBaVO₄; KCaPO₄; KSrPO₄; KBaPO₄; KCaAsO₄;
KSrAsO₄; KBaAsO₄; KCaVO₄; KSrVO₄; KBaVO₄ (Ttr)

Klement R., Kresso P.

Z.anorg. und allgem.Chem., 1961, 310, N 1-2,
53-68

Die Polymorphie der Alkali-...

Be

PK, 1962, 115163

orig.

1962

K 2496

Мэлл. 2 Balls (Tm); Ball, 2 balls, 3 ball/Tm;
Ботсадарекко Н. Б. (Tm)

Tp. Beez. Kozjukh.-Vlasyev.

Женевеев - Ильинев. VII-27.07.1962

(49), 37-80

ссы рк

5, вск

C.A., 1963, 59, N1, 122312

Ba Na₄, BaNa βT_{cr} IX-3180
repree. 1965.
(cusp-pa)

Kanda F.A., Stevens R.M.,
Keller D.V.

J. Phys. Chem.

1965, 69, #11, 3864-3872

5 Rel. etc

PCM, 1966; 125609

Ba_{0.8}Na_{0.4}Nb₂O₆ Rubin J.J. u gp. 1967

J. Crystal Growth,

T_{Kroger},

I, N5, 315

T_m

111

96-

B99-

(Cu. Nb-Pb) I

NaBaNb₅O₁₅(Tc) w 1963
Na₂Ti₃Nb₅O₁₅(Tc) X 4277
Na₂Ti₃Nb₅O₁₅(Tc).

Burns C.; O'Kane D.F.

Please see: A1969, 28(1), 446-7

Transition temperature variations
in sodium barium niobate and
related compositions.

L.C.T. & Q.K.

5 (C)

CA, 1969, 28(1), 446-7

Ba Na₂ Nb₂O₇

БГР 63567-X

1969

Ba Na NbO
0,86 0,32 1%

7 Б959. Фазовые равновесия в тройной системе
 Na_2O — BaO — Nb_2O_5 . Carruthers J. R., Grasso M.
Ternary phase equilibria of barium sodium niobate. «Ma-
ter. Res. Bull.», 1969, 4, № 7, 413—423 (англ.)

Методами рентгеновского анализа и ДТА исследован участок фазовой диаграммы тройной системы Na_2O — BaO — Nb_2O_5 . Построены разрезы для составов с 5, 7, 10 и 12% Na_2O . Соединение $\text{Ba}_2\text{NaNb}_5\text{O}_{15}$ образует широкий ряд тв. р-ров с избытком Nb_2O_5 (до 18%). При этом оси a и b не изменяются, а ось c заметно сокращается. Это явление связывается с образованием ковалентных связей в октаэдрах NbO_6 . Этим же объясняются оптич. аномалии и исчезновение теплового эффекта в точке сегнетоэлектрич. превращения при добавлении к стехиометрич. $\text{Ba}_2\text{NaNb}_5\text{O}_{15}$ всего 0,5% избы-

T_m

X. 1970. 7

точных ионов Nb. Максимум т-ры ликвидуса 1440° со-
ответствует конгруэнтио плавящемуся соединению
Ba_{0,86}Na_{0,32}Nb_{1,96}O_{5,92}, к-рое образуется при выращива-
нии кристалла из стехиометрич. расплава. В системе
обнаружено также соединение предположительного со-
става BaNa₂Nb₂O₇.

Б. Г. Алапин

MgCl₂-NaCl-BaCl₂

39-X-6874 1940

gasober
guarfaure

(7321h) Physicochemical properties of magnesium chloride-sodium chloride-barium chloride system melts. Bondarenko, N. V.; Strelets, Kh. L. (USSR). *Fiz. Khim. Rasplav. Shlakov* 1970, 216-28 (Russ). From Ref. Zh., Met. 1970, Abstr. No. 8A65. The phase diagram of MgCl₂-NaCl-BaCl₂ was studied by DTA and by crystallo-optical and x-ray phase analyses. Thirty polythermal cross sections were studied in the MgCl₂-NaCl-BaCl₂ system. The formation of chem. compds. was established in the binary systems MgCl₂-BaCl₂ and MgCl₂-NaCl: MgCl₂.2BaCl₂ melting with decomprn. at 600°; MgCl₂.NaCl and MgCl₂.2NaCl, which also melted with decomprn. Elec. cond., surface tension, and d. of ternary and binary system melts were also studied. Real properties deviated from ideal-system properties, which is attributed to strong complexing properties of MgCl₂.

C.A. 1972

#6.2

NaOH-Ba(OH)₂ (раз. групп.)

1970

Michaud M., Ado G., № 4478

C.R. Acad. Sci., 1970, C 270, № 3, 327-330 (франц.)

Образование системных гидратов
кальция - гидратов бария.



6

6

⑩

○

07.1970, 72, N22, 115289E

NaBr - LiBr, BaBr₂ - NaBr, BaBr₂ - (puf.) 1970
- RbBr, BaBr₂ - CsBr; SrBr₂ - LiBr, (gray)
SrBr₂ - NaBr, SrBr₂ - KBr, SrBr₂ - RbBr,
SrBr₂ - CsBr, BaBr₂ - KBr. 1966

Riccardi, L., Sinistri C., Campani G. V.,
Magistri S.,

Z. Naturforsch., 1970, A25, № 5, 481-5

(cont.)
Binary systems of alkali. me-
tal bromides with barium
or strontium bromide.

B

A (F)

CA 1970, 23, 1110, 49020 E

$KTa_xNb_{1-x}O_3$, $Ba_2NaNb_5O_{15}$ (Tb_2) 1970

Такаси 3.

fukado C.

Такаси Синзумиро, Рукагги Чуузе,
ТАКЕИ ТАКЕИ РУКАГГИ.

J. Mineral. Soc. Jap., 1970, 9, №
479-483 (310M).

Разовое преобразование в звонко-боке

$KTa_xNb_{1-x}O_3$ \leftrightarrow $Ba_2Nb_5O_{15}$.

Рисовано, 1971

440

146764

X5295

Ba₂NaNb₅O₁₅

0906626-X

1971

✓ 1879. Дилатометрическое изучение перехода ромбическая — тетрагональная фаза в ниобате натрия — бария. Abell J. S., Vaggacloough K. G., Harris I. R., Vere A. W., Соколов В. А dilatometric study of the orthorhombic—tetragonal phase transition in barium sodium niobate. «J. Mater. Sci.», 1971, 6, № 8, 1084—1092 (англ.)

772

Изучены две известных фазы Ba₂NaNb₅O₁₅ дилатометрич. методом. Тепловое расширение измерено вдоль трех главных осей в диапазоне 25—650°. При 260° происходит переход из ромбич. в тетрагон. фазу. Сравнением двой-

X. 1982. 1

никовых и недвойниковых кристаллов в ромбич. состоянии показано, что их появление связано с микродеформациями, возникающими в тетрагональной фазе при охлаждении. Предложена простая геометрич. модель, объясняющая процессы перехода и отличия эксперим. данных от более ранних работ. На кривых расширения при 580° отмечены изломы, к-рые связаны с сегнетоэлектрич. точкой Кюри, что говорит о возможности перехода первого рода.

Г. Л. Апарников

NaBaAsO₄ (BP-5740-X)

1971

— —

21 В34. Двойные ортоарсенаты щелочных и щелочно-земельных металлов. Ariguib-Kbir Najia, Remy Francis, Guérin Hérgi. Sur les orthoarséniates doubles alcalins alcalino-terreux. «Bull. Soc. chim. France», 1971, № 5, 1917—1918, XXIX (франц.; рез. англ.)

72

Методами ТГА и изотермич. нагревания изучены
реакции: $M_2'As_2O_7 + M_2CO_3 \rightarrow 2MM'AsO_4$ (I) + CO_2 (при 600°); $MAsO_3 + M'CO_3 \rightarrow I + CO_2$ (при 400°); $M_4As_2O_7 + M'CO_3 \rightarrow M_4M'(AsO_4)_2$ (II) + CO_2 ; $M'(AsO_3)_2 + 2M_2CO_3 \rightarrow II + CO_2$ ($M = Li, Na, K; M' = Ca, Sr, Ba$). В случае

, б.
конс
ИК

72

X. 1971. 21



Li_2CO_3 имеет место р-ция: $3M_2'\text{As}_2\text{O}_7 + 3\text{Li}_2\text{CO}_3 \rightarrow 2\text{Li}_3\text{AsO}_4 + 2M_3'(\text{AsO}_4)_2 + 3\text{CO}_2$. II имеет узкую область существования и всегда образуется в смеси с продуктами разложения: $M_3\text{AsO}_4$ и I. За исключением NaSrAsO_4 , все I существуют в 2 формах: низкот-рной ромбич. и высокот-рной гексагон. Т-ра фазового превращения NaBaAsO_4 , KCaAsO_4 и KSrAsO_4 , определенная рентгенографически, соотв. 1015; 800 и 855° . При выдерживании I при давл. пара H_2O 15,4 мм получены гидраты $\text{NaSrAsO}_4 \cdot 9\text{H}_2\text{O}$ (III), $\text{NaBaAsO}_4 \cdot 9\text{H}_2\text{O}$ (IV); $\text{KCaAsO}_4 \cdot 8\text{H}_2\text{O}$ (V), $\text{KSrAsO}_4 \cdot 8\text{H}_2\text{O}$ (VI) и $\text{KBaAsO}_4 \cdot 8\text{H}_2\text{O}$ (VII). III—VII, а также $\text{NaCaAsO}_4 \cdot 7\text{H}_2\text{O}$ (VIII), образуются при действии мол. р-ра $M_3\text{AsO}_4$ на тв. $M_3'(\text{AsO}_4)_2$. V и VIII имеют ромб. структуру с параметрами V a 7,10, b 7,14, c 11,70 Å, VIII a 6,81, b 11,36, c 14,18 Å. III и IV имеют куб. структуру, с параметром a соотв. 10,70 и 10,84 Å. VI и VII плохо кристаллизованы, по-видимому, изоморфны. При 100° III—VIII разлагаются с образованием соотв-щих безводн. солей типа I, к-рые, согласно рентгенографич. данным и ДТА, существуют более чем в двух крист. модификациях.

И. Н. Семенов

$\text{Ba}^{2+}\text{K}_2\text{Ta}_{10}\text{O}_{30}$; $\text{Ba}^{2+}\text{Na}_2\text{Ta}_{10}\text{O}_{30}$;
 $\text{Ba}^{2+}\text{K}_2\text{Ta}_{10}\text{O}_{30}$; $\text{Ca}^{2+}\text{Na}_2\text{Ta}_{10}\text{O}_{30}$;
 $\text{Sr}^{2+}\text{K}_2\text{Ta}_{10}\text{O}_{30}$; $\text{Sr}^{2+}\text{Na}_2\text{Ta}_{10}\text{O}_{30}$;

1972
7tr 9

$\text{K}_6\text{Zr}_4\text{Ta}_{10}\text{O}_{30}$ ~~3924~~

5 Ⓢ

Ghar - Van - Thieu, Крайник Н.Н.;
Деснов В.А., Чеканчагаде И.Т.;
Лиственчикова Е.Е., Азев Ф.А.;
Коза Л.С.

Кристаллография, 1972, 17, N1, 134-40

Разовые переходы в
плантациях со структурой
кашево-содовыми обогащ.
СА, 1972, 16, N18, 10484ЧР

$\text{Sr}_2\text{NaNb}_5(1-x)\text{Ta}_{5x}015$; ($\frac{x}{7}$) 85, 1972

$\text{Ba}_2\text{NaNb}_5(1-x)\text{Ta}_{5x}015$ (Kropu) ~~$\frac{x}{7} = 9730$~~

$$x = 1,0$$

Chamouade J., Perron A., Ravez J.;
Hagenmuller P.

Bull. Soc.

Clin. Fr., 1972, N°10, 3751-2

Influence of tantalum (ippatus)
niobium substitution on the crystal
lographic and dielectric proper-
ties of the $\text{Sr}_2\text{Nb}_5015$ and $\text{Ba}_2\text{Nb}_5015$ phases.
CA, 1973, 78, N°, 34808V

6
④

$\text{Na}_2\text{Ba}_4\text{Si}_{10}\text{O}_{25}$

$\text{Si}_{10}\text{O}_{25}$

(T_m)

11 Б777. Фазовые равновесия и кинетика кристаллизации в системе $\text{Na}_2\text{Si}_2\text{O}_5$ — BaSi_2O_5 . Gunawardane R. P., Glasser F. P. Phase equilibria and crystallisation kinetics in the system $\text{Na}_2\text{Si}_2\text{O}_5$ — BaSi_2O_5 . «Phys. and Chem. Glasses», 1972, 13, № 5, 125—130 (англ.; рез. нем., франц.)

Методами ДТА, ТГА и рентгенографии изучена система $\text{Na}_2\text{Si}_2\text{O}_5$ — BaSi_2O_5 на воздухе в интервале T - r 600—1500°. Исходные образцы получены спеканием смесей Na_2CO_3 + BaCO_3 +измельченный кварц в платиновых тиглях с последующей закалкой. В системе найдено соединение $\text{Na}_2\text{Ba}_4\text{Si}_{10}\text{O}_{25}$, к-рое инконгруэнтно плавится при $1116 \pm 5^\circ$ и имеет монокл. структуру с параметрами решетки $a = 39,35$, $b = 7,672$, $c = 8,189$ Å, $\beta = 97^\circ 13'$, ρ (эксперим.) 3,41, ρ (рентг.) 3,455 г/см³, $Z=4$, возможная ф. гр. $C2$, Cm или $C2/m$. Установлено, что $\text{Na}_2\text{Ba}_4\text{Si}_{10}\text{O}_{25}$ образуется из Na_2CO_3 , BaCO_3 и SiO_2 или из α - $\text{Na}_2\text{Si}_2\text{O}_5$ и BaSi_2O_5 при 700° и является, по-видимому, единственной термодинамически устойчивой

ти

С. 1973 № 11

1972
1116°
1116°
1116°
1116°

фазой в системе $\text{Na}_2\text{O}-\text{BaO}-\text{SiO}_2$ в интервале т-р 700—1116°. Установлены т-ры фазовых превращений $\beta\text{-Na}_2\text{Si}_2\text{O}_5 \rightleftharpoons \alpha\text{-Na}_2\text{Si}_2\text{O}_5$ (710°), низкот-риая модификация $\text{BaSi}_2\text{O}_5 \rightleftharpoons$ высокот-риая модификация BaSi_2O_5 (1116±5°), т. пл. $\alpha\text{-Na}_2\text{Si}_2\text{O}_5$ (874°) и BaSi_2O_5 (1420°). В системе существует эвтектика с координатами 790° и 24 мол.% BaSi_2O_5 . Кристаллы $\text{Na}_2\text{Ba}_4\text{Si}_{10}\text{O}_{25}$ характеризуются оптич. константами n_α 1,588 и n_γ 1,596 при 25° (для $\lambda \text{ Na}^D$). На кривой нагревания ДТА $\text{Na}_2\text{Ba}_4\text{Si}_{10}\text{O}_{25}$ отмечен небольшой обратимый эндотермич. эффект при 580°, к-рый объясняется наличием небольших кол-в кварца в кач-ве примеси. Рентгенографически определен средн. объемный коэф. термич. расширения в интервале 25—975°, равный $1,738 \cdot 10^{-5}$ град⁻¹. Изучена кинетика кристаллизации фаз в системе $\text{Na}_2\text{O}-\text{BaO}-\text{SiO}_2$. Наибольшей скоростью кристаллизации при 900° обладает высокот-риая модификация BaSi_2O_5 , а полная кристаллизация $\text{Na}_2\text{Ba}_4\text{Si}_{10}\text{O}_{25}$ наступает при 900° только через 400 часов. Изучена хим. устойчивость и стабильность $\text{Na}_2\text{Ba}_4\text{Si}_{10}\text{O}_{25}$ в гидротермальных условиях.

А. В. Салов

Na₂Ba₄Si₁₀O₂₅ BP-18-4122 1972

63456j Phase equilibria and crystallization kinetics in the system sodium silicate-barium silicate. Gunawardane, R. P.; Glasser, F. P. (Dep. Chem., Univ. Aberdeen, Aberdeen, Scot.). *Phys. Chem. Glasses* 1972, 13(5), 125-30 (Eng). Phase equil. in the system Na₂Si₂O₅-BaSi₂O₅ was studied by the quenching method and a unreported binary compd, Na₂Ba₄Si₁₀O₂₅ was found. Its monoclinic unit cell has a 39.35, b 7.672, c 8.189 Å, β 97° 13'; space group C2, Cm, or C2/m, d. (measured) = 3.41 ± 0.04 and its upper and lower n's in Na D illumination are γ = 1.596 and α = 1.588 ± 0.003. Partially indexed powder x-ray data are given. Na₂Ba₄Si₁₀O₂₅ melts incongruently to low BaSi₂O₅ and liq. at 1116 ± 5°C. The crystn. kinetics, at 900-1000°, of binary liqs. was studied by quant. x-ray diffractometry. High and low BaSi₂O₅ commonly appear as metastable 1st products of crystn. The crystn. of Na₂Ba₄Si₁₀O₂₅ is a slower process but the phase distribution eventually approaches that which would be predicted from the equil. phase diagram.

(T_m)

C.d. 1973.78 N10

$\text{Na}_4\text{Ba}(\text{PO}_3)_6$; $\text{BaNa}(\text{PO}_3)_3$; 1972

67143g Sodium metaphosphate-barium metaphosphate and sodium metaphosphate-strontium metaphosphate systems. Crystallographic data on sodium barium trimetaphosphate, sodium strontium trimetaphosphate, sodium barium trimetaphosphate tetrahydrate, and sodium strontium trimetaphosphate trihydrate. Martin, Claude; Durif, Andre (Lab. Electrostat. Phys. Met., CNRS, Grenoble, Fr.). *Bull. Soc. Fr. Mineral. Cristallogr.* 1972, 95(1), 149-53 (Fr). The mixed compd. solid phases and invariant points obsd. in phase diagrams were: NaPO_3 - $\text{Ba}(\text{PO}_3)_2$ system, eutectic at 615° ; $\text{Na}_4\text{Ba}(\text{PO}_3)_6$ (congruently m. 666°); eutectic at 652° ; $\text{BaNa}(\text{PO}_3)_3$ (incongruently m. 683° ; orthorhombic with a 11.134, b 12.320, c 5.802 Å, $Z = 4$, space group $P2_12_12_1$); NaPO_3 - $\text{Sr}(\text{PO}_3)_2$ system, eutectic at 618° ; $\text{Na}_4\text{Sr}(\text{PO}_3)_6$ (congruently m. 706°); eutectic at 698° ; $\text{SrNa}(\text{PO}_3)_3$ (incongruently m. 750° ; triclinic with a 7.162, b 7.738, c 6.831 Å, α 99.68° , β 97.29° , γ 83.84° , $Z = 2$); $\alpha\text{-Sr}(\text{PO}_3)_2 \leftrightarrow \beta\text{-Sr}(\text{PO}_3)_2$ at 858° . The crystallog. parameters of the hydrates are: orthorhombic $\text{SrNa}(\text{PO}_3)_3 \cdot 3\text{H}_2\text{O}$, a 12.01, b 16.15, c 10.67 Å, $Z = 8$, space group $Pmn\bar{b}$ (D_{2h}^{16}) or $P2_1nb$ (C_2^2); monoclinic $\text{BaNa}(\text{PO}_3)_3 \cdot 4\text{H}_2\text{O}$, a 21.33, b 7.01, c 18.26 Å, β 122.18° , $Z = 8$, space group Cc or $C2/c$.

(Tm)

C.A. 1972.77.10

(+4)

1972-77-148-1

$\text{Ca}_2\text{NaNb}_5\text{O}_{15}$, $\text{CaS}_2\text{NaNb}_5\text{O}_{15}$,
 $\text{Ba}_2\text{NaNb}_5\text{O}_{15}$, $\text{Ba}_2\text{KNb}_5\text{O}_{15}$, $\text{BaCaNaNb}_5\text{O}_{15}$,
 $\text{BaS}_2\text{KNb}_5\text{O}_{15}$ (Pc_2)

1979

Ravez J., Budin J.-P. № 6904

C. r. Acad. Sci., 1979, 274, N 6, 635-638 (Paris)

Справочная информация под мониторинг -
предварительные данные к выставке
закерамиков.

Paris, 1979

126802

5 (P)

1973

ВР-ФУДОХ

20 Б689. Исследование сегнетоэлектрического перехода в смешанном ниобате бария и натрия методами рентгенографии и ДТА. Abell J. S., Harris I. R., Cockayne B. An X-ray diffraction and DTA study of the ferroelectric transition in barium sodium niobate. «J. Mater. Sci.», 1973, 8, № 5, 667—672 (англ.)

Методами высокот-рной рентгеновской дифрактометрии (в интервале 20—1000°), дилатометрии и ДТА на воздухе (скорость нагревания 5 град/мин) изучены структурные св-ва сегнетоэлектрика Ba₂NaNb₅O₁₅ (I) вблизи его т-ры Кюри (~580°). Исходные образцы I получены измельчением монокристаллов, поскольку на таких образцах можно добиться лучшего разрешения, чем на кристаллах, выращенных из расплава. При комн. т-ре I имеет ромбич. структуру типа вольфрамовой бронзы с параметрами субъячейки $a \sim 17,59$, $b \sim 17,62$, $c \sim 4,0\text{А}$ (точные значения зависят от состава I), т. е. кристаллы являются псевдотетрагональными и установить ромбич. симметрию можно лишь по оптич. и дилатометрич. измерениям. Переход ромбич. I в истинно тетрагон. структуру ($a \sim 12,5$, $c \sim 4,0$) происходит при ~260°, и эта тетрагон. структура сохраняется до т-ры Кюри (~560°), когда I претерпевает фазовое превращение.

Ba₂NaNb₅O₁₅(T_{t2})X. 1973
N 20

ние сегнетоэлектрик \rightarrow паразелектрик. Установлено, что при нагревании образца I до 250° и медленном охлаждении до коми. т-ры сохраняется тетрагон. структура (по данным рентгеновской дифрактометрии невозможно разделить рефлекты с индексами $\{hk0\}$ и $\{kh0\}$), к-рая может быть проиндцирована с параметрами элементарной ячейки $a = 12,5$, $c = 4,0\text{ \AA}$. При $900-1000^\circ$ I имеет ту же самую тетрагон. структуру, но отношение c/a уменьшается с 0,226 до 0,224, что совпадает с дилатометрич. измерениями на монокристаллах I (0,2267 и 0,2236 соотв.). На кривых нагревания и охлаждения ДТА наблюдается эффект вблизи 560° , соответствующий обратимому фазовому превращению сегнетоэлектрик \rightleftharpoons паразелектрик, причем максимум эффекта зависит от состава и смешивается от миним. значения 560° (7,8 мол. % Na_2O , 40,5 мол. % BaO , 51,7 мол. % Nb_2O_5) до максим. значения 580° (8,2—8,3 мол. % Na_2O , 40,1—40,7 мол. % BaO , 51,1—51,6 мол. % Nb_2O_5). Отсутствие гистерезиса при прямом и обратном переходе указывает на то, что это фазовый переход 1-го рода.

А. В. Салов

$\text{SrK}_2\text{Nb}_5\text{O}_{14}\text{F}$, $\text{Ba}_2\text{Na}_2\text{Nb}_5\text{O}_{14}\text{F}(T_m, T_h)$ | 1973

$\text{SrKNb}_5\text{O}_{15}$, $\text{Ba}_2\text{NaNbO}_{15}$ (T_m) ~~X~~ ~~1973~~ 8847

Ravez M.J., Touzene D., Grammes J.

Hagenmuller P.

Z. Anorg. und allg. Chem., 1973,

399, № 1, 349-12 (франц.)

О некоторых новых оксифторидах со структурой интеркалярных кислородных бронз фольфрама.

РНХ хим., 1974

35474

Б(9)8

Naz 2 Be F₄ Holm, Tan Y, et al. ¹⁹⁷³
acta. Chem. Scand." 1973,

" 27(6), 2035-42 (Eng)

Enthalpies of fusion of
lithium tetrtafluoroberyllate,
lithium trifluoroberyllate
and sodium tetrafluorobery-
llate and the heatcapacities
of the liquid mixtures.

C.A. 1974. 80. N2.

(all Li₂ Be F₄; I) ^{Sec. 2}

(BaCl₂)₃ - (NaCl)₆ - (HCl₃)₂ (раз.
дин.) 1973

Кувакин М.А., Плашанова Ю.Н.,
Курчикова А.Н.; № 7872

Ж. неорг. хим., 1973, 18, N4, 1137-9
(русск.)

Применение синтетика хлоридов
натрия, бария и алюминия.

Б



(ав. оригинал) ЛА, 1973, 78, N26, 164836к

$\text{BaNa}_2\text{Nb}_5\text{O}_{14}\text{F}$

1973

Tm; Tt₂

Ravez et al.

Towneau et al.

"Z. anorg. allg. Chem."

1973, 399, N° 1, 34-42.

(see $\text{CaNa}_2\text{Nb}_5\text{O}_{14}\text{F}; \text{I})$

Ball - Селз, № 8595
Ball - Ball - Селз (раз. диагр.)

Сторожинец А.В., Василькова А.В.,
Гребенщикова О.Д., Козлова И.И.,
Вестн. Днепроп. ун-та, Сер., физ.
хим., 1973, (4), 84-8.

Термические и реактивные
исследования систем Ball - Селз - Ball
Ball.

С.Н. 1974. № 4. 17265к. 5(9)

NaSrAsO_4 , NaBaAsO_4 (T_3) ± 8689 1974

Aziquib-Kbir N., Stahl-Brasse R.,
Guérin H.

Bull. Soc. chim. France, 1974, N° 8, part 1,
1221-1225, IV (франц.)

Двойные ортоарсенаты цезия и цирконио-
зинеевых алюмосиликатов. III. Новый ванадий силикат
 $\text{Na}_3\text{AsO}_4 \cdot \text{V}_3^{\text{IV}}(\text{AsO}_4)_2 \cdot \text{H}_2\text{O}$. Типич. 22°

РЖХУЭН, 1975

25823

6 | 5 T. (P). K.

Ball, + Nall (AHmix). IX 4801 1974
Kotell, + Kegel, (AHmix).

Cassel R.B., Wood R.H.,

J. Phys. Chem., 1974, 78 (19),
1924-7.

Heats of mixing aqueous electrolytes. XI. Charge-asymmetric limiting case at low concentrations. Barium chloride with sodium chloride and sodium sulfate with sodium chloride.
C.A. 1974. 81: n24. 159981q. M (P)

$\text{LiCl} + \text{MgCl}_2$; $\text{LiCl} + \text{CaCl}_2$; $\text{LiCl} + \text{SrCl}_2$
 $\text{LiCl} + \text{CeCl}_3$; $\text{LiCl} + \text{PbCl}_2$; $\text{NaCl} + \text{CaCl}_2$
 $\text{NaCl} + \text{SrCl}_2$; $\text{NaCl} + \text{BaCl}_2$; $\text{NaCl} + \text{CeCl}_3$
 $\text{KCl} + \text{MgCl}_2$; $\text{KCl} + \text{CaCl}_2$; $\text{KCl} + \text{SrCl}_2$
 $\text{KCl} + \text{BaCl}_2$; $\text{KCl} + \text{CeCl}_3$ (0.6 mix)

Egan J.J., Bracken J. \bar{x} 8534
J. Chem. Thermodyn., 1974, b(1),

: g-16

(cp)

g 2016 QK

БФ 8692 - X 1974

Na₂Ba₄Si₁₀O₂₅

2 Б795. Фазовые равновесия и кристаллизация рас-
плавов в системе Na₂O—BaO—SiO₂. Gunawardane R. P., Glasser F. P. Phase equilibria and crystallization of melts in the system Na₂O—BaO—SiO₂. «J. Amer. Ceram. Soc.», 1974, 57, № 5, 201—204 (англ.)

Методами рентгенографии, поляризац. микроскопии и рефрактометрии изучены фазовые равновесия в системе Na₂O—BaO—SiO₂. В системе найдено 5 тройных соединений Na₂Ba₄Si₁₀O₂₅ (I), Na₂BaSi₂O₆ (II), Na₂Ba₂Si₂O₇ (III), фаза X (возможный состав Na₂Ba₁₈Si₂₈O₇₅) и фаза Y (возможный состав Na₂Ba₄₅Si₇₃O₁₉₅). Все найденные фазы плавятся инконгруэнтно. В системе найдены 23 инвариантные точки в области ликвидуса, из них 13 точек являются перитектическими, а 4 — эвтектическими. В части диаграммы, богатой SiO₂, обнаружена большая область стеклообразования, в к-рой образуется метастабильная крист. фаза (Z-фаза). Z-фаза является смесью кристаллов, т. к. вначале кристаллизуется BaSi₂O₅, к-рый затем переходит в I с медленной скоростью. Обсуждены области устойчивости I—III и Z-фазы и условия кристаллизации Z-фазы в зависимости от т-ры термообра-
ботки и состава.

А. В. Салов

X 1975
N 2

$\text{Na}_2\text{Ba}_4\text{Si}_{10}\text{O}_{25}$

1974

$\text{Na}_2\text{BaSi}_2\text{O}_6$; $\text{Na}_2\text{Ba}_2\text{Si}_2\text{O}_7$

82877a Phase equilibria and crystallization of melts in the system sodium oxide-barium oxide-silicon dioxide. Gunawardane, R. P.; Glasser, F. P. (Dep. Chem., Univ. Aberdeen, Aberdeen, Scot.). *J. Amer. Ceram. Soc.* 1974, 57(5); 201-4 (Eng). Phase equil. studies of the liquidus surface of the $\text{Na}_2\text{O}-\text{BaO}-\text{SiO}_2$ system are presented. The system contains 5 ternary compds., $\text{Na}_2\text{Ba}_4\text{Si}_{10}\text{O}_{25}$, $\text{Na}_2\text{Ba}_2\text{Si}_2\text{O}_6$, $\text{Na}_2\text{Ba}_2\text{Si}_2\text{O}_7$, X (probably $\text{Na}_2\text{Ba}_4\text{Si}_{25}\text{O}_{75}$), and Y (probably $\text{Na}_2\text{Ba}_{15}\text{Si}_{75}\text{O}_{192}$), all of which melt incongruently. Twenty-three liquidus invariant points, including 13 peritectics, 4 eutectics, and 6 thermal maxima, were located. Metastable crystn. reactions are commonly encountered, and some of the metastable equilibria are described.

(Tm)

C.A. 1974. 81. N14

50122.4515

92319

0.2

X-4529

X-9130

Ph, сб $Ba_{5.3}Na_{0.7}Nb_{8.7}Ti_{13}O_{30}(Tt_2)$

Ikeda Takuzo, Kato Jun-ichi. A tetragonal tungsten-bronze- $Ba_{5.3}Na_{0.7}Nb_{8.7}Ti_{13}O_{30}$. "Jap. J. Appl. Phys.", 1974, 13, № 11, 1792-1796

(англ.)

0280 вин.

5 ♂

268 268

0212

ВИНИТИ

Ba₂NaNb₅O₁₅ (Ter).

1974.

Ikeda T.,

I8752

Jap. J. Appl. Phys., 1974, 13 (7),
1065-71.

Phenomenological theory of the
phase transition in barium
sodium niobate (Ba₂NaNb₅O₁₅).

CETB CPK

C.A. 1974. 81n12. 69523n 5

Ba₂NaNb₅O₁₅ | БСР-8685-X |

1974

№ 20 Б810. Дифференциальный-термический анализ сегнетоэлектрических и сегнетоэластических переходов в натрий-барий ниобате. Toledo J. C., Pateau L. Differential thermal analysis of ferroelectric and ferroelastic transitions in barium sodium niobate. «J. Appl. Phys.», 1974, 45, № 4, 1611—1614 (англ.)

(T_{tr})

Методом ДТА с последующей рентгенографич. идентификацией фаз изучены диэлектрич. фазовые переходы в Ba₂NaNb₅O₁₅ (I). Для исследования применялись монокристаллы I, выращенные из расплава. На кривой нагревания ДТА монокристалла I наблюдаются 2 эндо-термич. эффекта — слабый эффект с максимумом при 260°, соответствующий переходу из сегнетоэластич. фазы в сегнетоэлектрич. фазу, и сильный эффект с острым макси-

х. 1974. №20

мумом при 570° , соотв-щий переходу из сегнетоэлектрич. в разупорядоченное состояние (точка Кюри). По величине эффектов на кривых ДТА оценена энталпия фазовых переходов в I по сравнению с аналогичными эффектами для $\text{Gd}_2(\text{MoO}_4)_3$ и LiTaO_3 , записанных методом ДТА в тех же условиях. Для фазового перехода при 570° установлен первый порядок, что согласуется с результатами диэлектрич. измерений. Переход из сегнетоэластичного состояния в сегнетоэлектрич. состояние можно отнести к фазовому переходу первого рода, что согласуется с основными представлениями применимой для данных случаев термодинамич. теории. А. В. Салов

Ba₂NaNbO₅

1974

(T_{tr})

150067t Differential thermal analysis of ferroelectric and ferroelastic transitions in barium sodium niobate. Toledano, J. C.; Pateau, L. (Cent. Natl. Etud. Telecommun., Bagneux, Fr.). *J. Appl. Phys.* 1974, 45(4), 1611-14 (Eng). DTA was performed on Ba Na niobate single crystals. A thermal effect was detected for the 1st time at the 260° ferroelastic transition. A large thermal peak was also obsd. at the 570° Curie point. For both transitions an est. of the latent heat was obtained by comparison with thermal effects recorded in Gd molybdate and quartz single crystals. The results for the 1st-order 570° transition is in good agreement with existing dielec. data. First order is also assigned to the lower ferroelastic transition whose features are discussed in the framework of the available thermodn. theory.

C.A.1974. 80. N26

Na_2MoO_4 - K_2MoO_4 , Na_2WO_4 - K_2WO_4 , 1975

Na_2MoO_4 - BaMoO_4 , K_2MoO_4 - BaMoO_4
 K_2WO_4 - BaWO_4 (разобр. разнр.).

Тюльпанов В.И., Трунилл. А.С.
Имп. Т.Е., И-9354

Ж. Несприм. Журнал, 1975, № 6,
1664-6.

$\text{Na}, \text{K}, \text{Ba} // \text{MoO}_4$ (), WO_4 смешаны.

С.А. 1975. 83 № 16. 137604к Б (cp) ?6

Наз. Моды - Кацкоды, Наз. Моды -
- Ср. Моды, Наз. Моды - Баркоды
(фагоб. грант.) №-9206

Семёновский В.Т., Матвеев Е.В.,
Морозовский В.И.,

Уд. АН ССР. Реп. Нагорный р-н.
1975, 11(9), 1618-21.

Фагобил гранитный Наз. Моды -
- Моды) Al = Ca, Sr, Ba.
Р. А 1976. 24 № 11. 227196. 5

Б (P)

$\text{BaF}_2 \cdot x(\text{NaF})_2$ 1975
B9-9379-X

84: 9144q Sodium, barium || fluoride, tungstate system.
Trunin, A. S.; Shter, G. E.; Kosmynin, A. S. (Kuibyshev. Med.
Inst. im. Ul'yanova, Kuibyshev, USSR). *Izv. Vyssh. Uchebn.
Zaved., Khim. Khim. Tekhnol.* 1975, 18(9), 1347-50 (Russ).

The title system contains 3 binary cryptic compns.: BaF_2
 $54\text{-}(\text{NaF})_2$ 46 equiv.%, m. 820° , BaWO_4 5- Na_2WO_4 95 equiv.%,
m. 678° , and BaWO_4 33- BaF_2 67 equiv.%, m. 988° . The compd.
 $2\text{NaF}\cdot\text{Na}_2\text{WO}_4$ incongruently m. 690° . The ternary eutectics
 $(\text{NaF})_2$ 39.0- BaF_2 34.5- BaWO_4 26.5 equiv.% and $(\text{NaF})_2$ 10.5- Na_2WO_4
83.5- BaWO_4 6.0 equiv.% m. $744-5$ and $615-620^\circ$, resp., and a
peritectic $(\text{NaF})_2$ 23.0- Na_2WO_4 67.0- BaWO_4 10.0 equiv.% m.
656-660°.

C. E. Stevenson

②

☒

$\text{BaWO}_4 \cdot x\text{Na}_2\text{WO}_4$
 $2\text{NaF}\cdot\text{Na}_2\text{WO}_4$

C.A. 1976 84 N2

$\text{Na}_4\text{Ba}(\text{PO}_3)_6$; $\text{NaBa}(\text{PO}_3)_3$

1975

15 Б983. Система NaPO_3 — $\text{Ba}(\text{PO}_3)_2$. Токман И. А.,
Бухалова Г. А. «Ж. неорган. химии», 1975, 20, № 4,
1073—1076

Методами ДТА, визуального, рентгенофазового, ИК-спектроскопии и хр-фии на бумаге исследована диаграмма состояния бинарной системы NaPO_3 — $\text{Ba}(\text{PO}_3)_2$. В системе установлено образование двух соединений: одно состава 4 : 1, $\text{Na}_4\text{Ba}(\text{PO}_3)_6$, плавящееся конгруэнтно, и второе — 1 : 1, $\text{NaBa}(\text{PO}_3)_3$, инконгруэнтно плавящееся. Оба соединения изоструктурны кольцевым trimetafosfатам.

Резюме

(T_m)

Х. 1975 г 15

Ba₂NaNb₅O₁₅ ВФЗ 328-8X 1976

5 Б991. Интерпретация последовательности переходов в ниобате бария — натрия: $\text{Ba}_2\text{NaNb}_5\text{O}_{15}$. Aizu Keitsiro. Interpretations of the sequence of transitions in barium sodium niobate, $\text{Ba}_2\text{NaNb}_5\text{O}_{15}$. «J. Phys. Soc. Jap.», 1976, 41, № 3, 880—887 (аингл.)

Предложено пять интерпретаций для последовательности переходов в $\text{Ba}_2\text{NaNb}_5\text{O}_{15}$. Предположено, что фаза I, существующая выше 560° , является прототипич., а фазы II и III носят сегнетоэлектрич. характер и являются предыдущими от фазы I. Прототипич. пространственная группа весьма вероятно $P4/mbm$. Предположено, что система мягких мод состоит из A_{2u} моды с нулевым волновым числом и двух вырожденных или невырожденных мод с волновым вектором $(0, 0, 1/2)$. В случае вырождения двух последних мод св-ва превращения однозначно определены, и фаза III должна принадлежать к пространственной группе $Cmc2_1$. В случае невырожденных мод возможны четыре пары св-в перехода, соотв-щие паре мод с волновым вектором $(0, 0, 1/2)$, при этом фаза III принадлежит к пространственной группе $Cmm2$ или $Ccc2$, а $n=2$ или 3 для деформац. компоненты x_6 .

По резюме

(Tet)

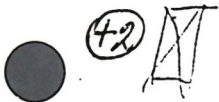
X. 1977
N 5

$\text{Ba}(\text{VO}_3)_2 - \text{NaVO}_3$

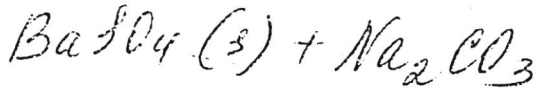
1976

(gegol. gegap.)

86.22.153c Barium vanadate-sodium vanadate, barium vanadate-magnesium vanadate, and barium vanadate-calcium vanadate systems. Glazyrin, M. P.; Ivakin, A. A. (Inst. Khim., Sverdlovsk, USSR). *Zh. Neorg. Khim.* 1976, 21(11), 3138-40 (Russ). The title pseudobinary systems were studied by x-ray phase anal. and thermog. methods. No binary compds. are formed by $\text{Ba}(\text{VO}_3)_2$. The phase diagrams are simple eutectic-type with eutectic points at 545, 585, 638° and NaVO_3 68, $\text{Mg}(\text{VO}_3)_2$ 69, $\text{Ca}(\text{VO}_3)_2$ 36 mol %.



c.a. 1977 86 NY



1976

Melliz

(K)
Jacobswell
ccd

86: 128311v Equilibrium in the formation of barium carbonate from barium sulfate. Horlings, Harry; Scott, Donald S.; Wynnyckyj, John R. (Dep. Chem. Eng., Univ. Waterloo, Waterloo, Ont.). *Can. J. Chem.*, 1976, 54(24), 3872-5 (Eng). Heat of reaction and free energy of formation at 25° were detd. from exptl. equil. yields for the reaction $\text{BaSO}_4(s) + \text{Na}_2\text{CO}_3 \rightleftharpoons \text{BaCO}_3(s) + \text{Na}_2\text{SO}_4$ in an aq. soln. The values are 5045 and 1927 cal/mol, resp. Equil. consts. for the reaction were detd. over a temp. range from 20 to 193°.

C.A. 1977, 86 n18

$\text{Ba}_2\text{NaNb}_5\text{O}_{15}$ BX-266

1977

86: 81937m New phase transition with increasing symmetry
on cooling in barium sodium niobate. Schneck, J.; Primot,
J.; Von der Muehll, R.; Ravez, J. (Cent. Natl. Etud.
Telecommun., Bagneux, Fr.). *Solid State Commun.* 1977,
21(1), 57-60 (Eng). A new and unusual transition is reported in
 $\text{Ba}_2\text{NaNb}_5\text{O}_{15}$: the crystal, which was previously known to
undergo at 573 K a ferroelastic transition $4mm \rightarrow mm2$ ($C_{4v} \rightarrow$
 C_{2h}), reverts back at 110 ± 5 K to a low-temp. phase of $4mm$
(C_4) symmetry. Thus, this crystal presents a unique example of
a ferroelastic ($mm2$) phase stable in a wide temp. range (470 K)
and sandwiched between 2 phases possessing the same higher
point symmetry.

(T_{Tz})

c.a. 1977 86 N12

Ba₂NaNb₅O₁₅

1977

БР-Г-266

№ 15 Б976. Новый фазовый переход в ниобате бария — натрия с увеличивающейся симметрией при охлаждении. Schneck J., Primot J., Von der Mühl R., Ravez J. New phase transition with increasing symmetry on cooling in barium sodium niobate. «Solid State Commun», 1977, 21, № 1, 57—60 (англ.)

С помощью оптич. и рентгенографич. методов изучены фазовые превращения в Ba₂NaNb₅O₁₅ (I). Установлено, что при т-ре $110 \pm 5^\circ\text{K}$ в I происходит переход в фазу с симметрией $4mm(C_{4v})$. Аналогичной структурой I обладает при т-рах выше 573°K . Л. Г. Титов

Х. 1977 № 15

Ba₂NaNb₅O₁₅

1977

6 Б568. Низкотемпературные свойства [смешанного] ниобата бария и натрия. Schneck J., Paquet D. Low temperature behaviour of barium sodium niobate. В сб. «Четвертая Международ. конф. по сегнетоэлектричеству. МКС-4, Ленинград; 1977 г. Тезисы.» Л., «Наука», 1977, 140 (англ.)

Проведены диэлектрич., оптич. и рентгенографич. исследования Ba₂NaNb₅O₁₅ при т-рах 3—300° К. Обнаружен фазовый переход при 110° К, макроскопич. механизм к-рого рассмотрен с точки зрения псевдоэффекта Яна-Теллера.

И. А. Клейнман

Tet



X, № 1978

$Ba_2NaN_5O_{15}$ (T_{2g}) BX-952 1977

Sapzhelev f., Boudou R.

В сб., Четвертая. Междунроп. конф. по неильт-
электропроводности ИКС-4, Ленинград, 1977г. Тезисы.
Р. Найка, 1977, 80 (авт.).

Optical mode softening in $Ba_{2-x}Na_{1-x}NbO_{15}$ -
solid solutions.

PHX-952, 1978

65521

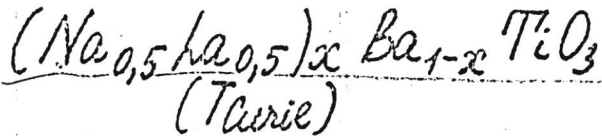


5 Ⓛ

Упс. 257

BX-1459

1977



Varaprasad S.M., Shashinikanth A.B.,
Biswas A.B., Chakrabarty D.K.,
Phys. Status Solidi A, 1977, 49(2), 487-
91.

Dielectric and infra ^{IR} red spectral studies
of... C.A. 1978, 83, N10, 681962 5 (P)

BaO - FeO₂ - Na₂O

1978

gray-b.
gray.

89: 118518r Hydrothermal crystallization in the barium oxide-germanium dioxide-sodium oxide-water system. Malinovskii, Yu. A.; Kuznetsov, V. A.; Pobedimskaya, E. A.; Belov, N. V. (Mosk. Gos. Univ., Moscow, USSR). *Kristallografiya* 1978, 23(3), 539-45 (Russ). Synthesis of Ba germanate was studied under hydrothermal conditions. The phase diagram was constructed and crystn. regions of BaGeO₃.H₂O and BaGeO₃.0.75H₂O were established. Phases were characterized by chem., x-ray, IR spectral, and crystallooptical methods. Lattice parameters are given for 1.5Na₄O.6BaO.8GeO_{2.4}H₂O and 0.5Na₂O.3BaO.4GeO_{2.5}H₂O.



C.A. 1978, 89, v14

Ба₂NaNb₅O₁₅

1978

12 Б865. Низкотемпературное поведение ниобата бария — натрия. Schneck J., Paquet D. Low temperature behaviour of barium sodium niobate. «Ferroelectrics», 1978, 21, № 1—4, 577—578 (англ.)

В диапазоне т-р от коми. до 1,5° К исследована т-рная зависимость двулучепреломления в плоскости (001) и диэлектрич. постоянных ϵ_x , ϵ_y , ϵ_z (пяти сегнетоэлектрич. монокристаллов Ba₂NaNb₅O₁₅ (I) (3 коммерческих и 2 лабораторных) со структурой вольфрамовой бронзы, испытывающих при охлаждении последовательность фазовых переходов $4/mmm \rightarrow 4mm \rightarrow mm2 \rightarrow 4mm$. Обнаружено, что существование превращения $mm2 \rightarrow 4mm$ при 110° К главным образом зависит от природы образца и способа его получения (переход зафиксирован только в одном образце). На зависимостях $\epsilon_x(T)$ и $\epsilon_y(T)$ обнаружена аномалия при 12° К, отсутствующая на зависимости $\epsilon_z(T)$. Сделано предположение о наличии в I неизвестного ранее сегнетоэлектрич. фазового перехода при 12° К, возможно аналогичного превращениям в др. соединениях свинца со структурой вольфрамовой бронзы (PbNb₂O₆, K₂Pb₂Nb₅O₁₅). Г. Л. Апарников

Tex

2: 1949/12

1978

Ba₂NaNb₅O₁₅

12 Б583. Смягчение оптических мод в $\text{Ba}_2\text{NaNb}_5\text{O}_{15}$ и сходных твердых растворах. Sargiel J., Bou-dou A. Optical mode softenings in $\text{Ba}_2\text{NaNb}_5\text{O}_{15}$ and related solid solutions. «Ferroelectrics», 1978, 21, № 1—4, 323—324 (англ.)

(Ter)

В интервале $T = 1,5 - 600^\circ \text{K}$ исследована т-рия зависимость низкочастотных спектров КР (область $0 - 180 \text{ см}^{-1}$) монокрист. $\text{Ba}_2\text{NaNb}_5\text{O}_{15}$ (I). При $T \approx 750^\circ \text{K}$ кристалл I претерпевает переход из ромбич. фазы с симметрией $mm\bar{2}$ в тетрагон. фазу с симметрией $4mm$. При понижении т-ры наблюдается смягчение оптич. В-мод I или Е-мод тетрагон. фазы. Частота моды $B_2(y)$ уменьшается с 36 до 19 см^{-1} при уменьшении т-ры от 450 до $1,5^\circ \text{K}$. Аналогичные моды имеются в спектрах тв. р-ров типа $\text{Ba}_{2+x}\text{Na}_{1-2x}\text{Nb}_5\text{O}_{15}$, $\text{Ba}_{2+x}\text{Na}_{1-2x}\text{Ta}_5\text{O}_{15}$, $\text{Ba}_{2+x}\text{Na}_{1-x}\text{Nb}_{5-x}\text{Ti}_x\text{O}_{15}$ и $\text{Ba}_{2x}\text{Na}_{1+x}\text{Nb}_{5-x}\text{W}_x\text{O}_{15}$ со структурой вольфрамовых бронз. Диэлектрич. постоянная I имеет максимум при $T \sim 12^\circ \text{K}$. Возможно, что смягчение В-мод связано с наличием нового фазового перехода вблизи этой точки.

А. В. Бобров

2.1949, N/2

$Ba_2NaNb_5O_{15}$

1980

17 Б617. Исследование тетрагональных соединений типа вольфрамовой бронзы методом комбинационного рассеяния. I. $Ba_2NaNb_5O_{15}$ и сходные кристаллы. Bond A., Sariel J. Raman-scattering investigations in tetragonal tungsten bronze compounds. I. $Ba_2NaNb_5O_{15}$ and related crystals. «Phys. Rev.», 1980, B21, № 1, 61—69 (англ.).

Fz

В области $T=1,5-600$ К исследована т-рная зависимость поляризац. спектров КР ($\lambda=4880$ и 5145 Å) монокристалла $Ba_2NaNb_5O_{15}$ (I). При $T \approx 575$ К кристалл I претерпевает переход из сегнетоэлектрич. ромбич. фазы с симметрией $mm\bar{2}$ в параэлектрич. тетраг. фазу с симметрией $4mm$. Произведено отнесение линий в спектрах к различным типам колебаний.

2 1980 N 17

При охлаждении кристалла наблюдалось понижение («смягчение») частот ряда низкочастотных колебаний типа *B*. Особенно сильное от 36 см⁻¹ при 450 К до 19 см⁻¹ при 1,5 К изменение частоты имеет место для колебания *TOB*₂ (*y*); полуширина полосы при этом уменьшается с 9 до 5 см⁻¹. Как показали исследования кристаллов $\text{Ba}_{2+x}\text{Na}_{1-2x}\text{Nb}_5\text{O}_{15}$, интенсивность низкочастотной мягкой моды существенным образом зависит от состава и она уменьшается с ростом относит. конц-ии ионов Na^+ . При фазовом переходе происходит расщепление дважды вырожденных колебаний типа *E* тетрагон. фазы: На керамич. образцах изучено также влияние замещения Ba на Sr , Na на K и Nb на Ta , Ti и W на вид колебательных спектров.

А. В. Бобров

Ba₂NaNb₅O₁₅

1980

9 E804. Исследование комбинационного рассеяния света в тетрагональных соединениях со структурой вольфрамовой бронзы. Ч. I. Ba₂NaNb₅O₁₅ и аналоги.
Raman-scattering investigations in tetragonal tungsten bronze compounds. I. Ba₂NaNb₅O₁₅ and related crystals. Boudou A., Sapriel J. «Phys. Rev.», 1980, B21, № 1, 61—69 (англ.)

(Ttr)

Исследованы спектры комб. рас. света (КРС) в Ba₂NaNb₅O₁₅ в интервале 600—1,5° К, включающем т-ру сегнетоэластич. перехода ($T_0=575^{\circ}$ К). Изучалось проявление изменения симметрии в спектрах КРС при T_0 в данном кристалле и его аналогах. Мягких мод, связанных с переходом, не обнаружено. Основное проявление перехода — расщепление E_g -мод (тетраг. фаза) на $B_1(x)$ - и $B_2(y)$ -моды (орторомбич. фаза). Поведение частоты и интенсивности $B_2(y)$ -моды служит мерой орторомбич. искажений исходной фазы. Обсуждаются также особенности спектра КРС керамики и замещенных кристаллов. Библ. 24.

С. Д. Прохорова

Ф. 1980 № 9

Ball + Vacay

1980.

(ΔH_{mix})

(mix)

Deryabina, L.D.,
et al.

Khim. Tekhnol. Vody 1980,
2(6), 511-13.



(cu. Ball + LiCl_{aq}; T)

Ba₂NaReO₆

Lommel G224

1980

Fadini A. et al.

refractar.
cristall.,

Spectrochim. acta

Cp. activ. rad.

1980, A36, 193-197

cliv. noes.

18 Б917. Изучение методом комбинационного рассеяния фазовых переходов под высоким давлением в некоторых кристаллах. Коjima S., Nakamura T. Raman scattering studies on high-pressure phase transitions of several crystals. «Ferroelectrics», 1980, 25, № 1—4, 589—592 (англ.)

Tr

34 163

on

Х 1980 № 18

Исследованы спектры КР на полированных гранях определенной ориентации в нек-рых монокристалах при давл. до 30 кбар. Применен крист.-оптич. метод с использованием алмазных наковален. Сегнетоэлектрик Ba_2NaNbO_{15} (I) обладает при атмосферном давл. тремя фазовыми переходами (ФП): при т-рах —163, 300 и 560°. Под давл. в I наблюдается при 22 кбар ФП из сегнето- в паразластич. фазу, аномалия, отвечающая B_2 -моде при частоте 32 см⁻¹, сглаживается и интенсивность ее уменьшается с увеличением давл. Наблюдение A_1 -мод в этом кристалле связывается с деформацией NbO_6 -октаэдров. Изучение ФП в $Sr_xBa_{1-x}Nb_2O_6$ (II) показало, что ФП в II происходит без изменения мягкой фононной моды. В $Sr_2Nb_2O_7$ — сегнетоэлектрике, обладающем слоистой структурой типа перовскита и имеющем ФП при т-рах —156, 215 и 1342°, наблюдается зависимость мягкой фононной моды от давл. в не-соразмерной фазе.

Н. П. Качалов

1980

$\text{Ba}_2\text{NaNb}_5\text{O}_{15}$

1980

17 Б993. Нейтронографические и прецессионные рентгеновские исследования несоразмерных рефлексов вблизи перехода при 300° в ниобате бария—натрия.
Schneek J., Toledano J. C., Joukoff B., Denoyer F., Joffrin C. Neutron and X-ray precession studies of the incommensurate reflections near the 300°C transition in barium sodium niobate. «Ferroelectrics», 1980, 26, № 1—4, 661—664 (англ.)

(Ter)

BP-18-5669



х 1980 № 14

Методами нейтронографии и рентгенографии исследованы несоразмерные рефлексы в области сегнетоэластич. фазового перехода тетрагон.-ромбич. ($4mm - mm2$) около 300° в кристаллах $\text{Ba}_2\text{NaNb}_5\text{O}_{15}$. Сателлитные рефлексы, резко зависящие от t -ры, наблюдались при $\pm(1+\delta)(a^*+b^*)/4+c^*/2$ $\delta \approx 0,1$. В ромбич. фазе эти рефлексы затухали при $\pm(a^*+b^*)/4+c^*/2$. Исследовано рентгеновское и диффузное рассеяние, а также мягкие фононы в области превращения. Обсуждена возможная природа несоразмерной фазы. Показано, что полученные результаты по мягкофононому поведению указывают на наличие минимума на дисперсионной кривой в S -точке зоны Бриллюэна и появление 4-х возможных пространственных групп для низкосимм. фазы, что говорит о четырехмерном параметре порядка при фазовом превращении.

Г. Л. Апарников

Ba₂NaNb₅O₁₅-O₁₅
кристалл

1980

3 E607. Комбинационное рассеяние при одноосном и гидростатическом давлении в кристаллах Ba₂NaNb₅O₁₅. Raman scattering under uniaxial and hydrostatic stresses in Ba₂NaNb₅O₁₅ crystals. Sapriel J., Bou-dou A., Martinez G. «Ferroelectrics», 1980, 29, № 1—2, 15—17 (англ.)

Система
кристаллов
рассеяния

Рассмотрена зависимость частоты норм. мод. от приложенного давления (P) для орторомбич. кристаллов. Разделены различные вклады в температурную зависимость мод при постоянном P . Исследован спектр комбинационного рассеяния в Ba₂NaNb₅O₁₅ в области двух B₂(Y)-мод (23 и 38 см⁻¹) при одноосном P (0—7 кбар) вдоль y и z осей и гидростатическом P до 10 кбар при 77° К. Показано, что величина чисто температурного вклада (мультифононный эффект) в изобарическую температурную зависимость превосходит чисто объемный вклад. Обнаружено, что при увеличении P вдоль y B₂(y)-спектр превращается в B₁(x)-спектр. Наблюдаемый эффект связывается с уменьшением орторомбич. искажений при приложении P и уменьшением параметра решетки x_2 , приводящее к уменьшению спонтанной деформации. С. Д. Прохорова

Ф. 1981 N 3

1980

NaF-BaCl₂

94: 53709k Phase diagram of the binary molten salts of sodium fluoride-barium chloride system. Taniuchi, Kentaro (Res. Inst. Miner. Dressing Metall., Tohoku Univ., Sendai, Japan). Yoyuen 1980, 23(3), 235-50 (Japan). A Gadeau bath for Al refining is composed of the ternary molten salt mixts. of NaF, BaCl₂ and AlF₃. The binary system NaF-BaCl₂ was studied by thermal anal. and x-ray diffraction. Results are discussed taking into account the reciprocal ternary system.

K. Aoki

page 6
group.

C.A. 1981. GY 18

$(B_2O_3 + Na)$

1981.

connected Drake, C. F., et al.

(C_p). J. Non-Cryst. Solids 1981,
43 (1), 17-27.

• $(Cu.(B_2O_3 + Cu); T)$.

$\text{BaB}_2\text{O}_4 \cdot \text{Na}_2\text{O}$

1981

(T_m)

195: 50310h Crystal growth of barium borate (BaB_2O_4) low temperature phase and the study of phase diagrams of related systems. Huang, Qing-Zhen; Liang, Jing-Kui (Fujian Inst. Struct. Matter, Acad. Sin., Peop. Rep. China). *Wu Li Hsueh Pao* 1981, 30(4), 559-64 (Ch). The pseudo-binary systems $\text{BaB}_2\text{O}_4\text{-Na}_2\text{O}$ (I) and $\text{BaB}_2\text{O}_4\text{-Na}_2\text{B}_2\text{O}_4$ (II) in the ternary system $\text{BaO}\text{-Na}_2\text{O}\text{-B}_2\text{O}_3$ were studied by thermal anal. and x-ray diffraction. The II system is a eutectic one and it's eutectic reaction occurs at $826 \pm 3^\circ$. $\text{BaB}_2\text{O}_4\text{-Na}_2\text{O}$ melts congruently at $846 \pm 3^\circ$ in the I system. There exist eutectic horizontals from BaB_2O_4 to $\text{BaB}_2\text{O}_4\text{-Na}_2\text{O}$ at $775 \pm 3^\circ$ and from $\text{BaB}_2\text{O}_4\text{-Na}_2\text{O}$ to Na_2O at $573 \pm 3^\circ$. Based on the phase diagrams of the binary systems, single crystals of BaB_2O_4 low temp. phase with dimensions of $2 \times 4 \times 6 \text{ mm}^3$ and $2 \times 4 \times 8 \text{ mm}^3$ were grown by the Czochralski method from the melt contg. 15 mol% Na_2O or 13 mol% $\text{Na}_2\text{B}_2\text{O}_4$ as flux.

C.A. 1981, 95, 16.

1981

NaBaPO₄

*Кристалл.
Структур.*

16 Б516. Кристаллическая структура NaBaPO₄. Kolsi A. W., Quarton M., Freundlich W. Structure cristalline de NaBaPO₄. «J. Solid State Chem.», 1981, 36, № 1, 107—111 (франц.; рез. англ.).

Рентгенографически определена (методы порошка, Лауз, прецессии и Вейсенберга, МНК, анизотропное приближение, $R=0,058$ для 761 отражений) структура кристаллов NaBaPO₄. Параметры монокл. решетки: $a = 9,743$ Å, $b = 5,622$, $c = 7,260$ Å, $\beta = 90,10^\circ$, $Z = 4$, ф. гр. $C2/m$. Структура построена из тетраэдров PO₄ (P—O 1,475—1,541 Å), октаэдров вокруг атомов Na (Na—O 2,342, 2,377 Å), 12-ти вершинников вокруг Ba (додекаэдр, Ba—O 2,773—3,258 Å), и 10-ти вершинников вокруг положений M, статистически заселенных атомами Na и Ba (M—O 2,588—3,034 Å). Многогранники вокруг катионов Na, Ba и M соединяются между собой ребрами и гранями и с тетраэдрами PO₄ вершинами с образованием сложного трехмерного каркаса. Отмечается, что NaBaPO₄ является первым известным фосфатом типа A⁺B²⁺PO₄, кристаллизующимся в монокл. симметрии и характеризующимся частично разупорядоченным распределением катионов. С. В. Соболева

2.1981.№16

NaBaPO_4

1981

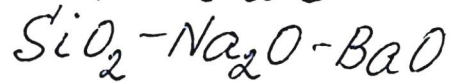
Kolsi A. W., et al.

$T_m; T_{tr}$; Ann. chim. (France),
1981, 6, NS, 411 - 418.

(cfr. NaCuPO_4 ; ?).

Cucmeua

1982



Ammar M.M.,

Gharib S, et al.

merco-

probogn. J. Non-Cryst. Solids,
1982, 53, N^o 1-2, 165-172.



(al. $\text{SiO}_2 - \text{Na}_2\text{O} - \text{MgO}$; -)

NaBaCr₂F₉

1983

№ 5 Б2043. Кристаллическая структура $\text{NaBaCr}_2\text{F}_9$ — структурные соотношения с другими девятифторидами. Crystal structure of $\text{NaBaCr}_2\text{F}_9$ — structural correlations with other enneafluorides. Ferey G., Leblanc M., Kozak A. de, Samouel M., Pannetier J. «J. Fluor. Chem.», 1983, 23, № 5, 442 (англ.)

Рентгенографически ($R = 0,0252$ для 507 отражений) определена структура кристаллов NaBaCrF_9 (I), выращенных гидротермальным путем. Параметры монокл. решетки: $a = 7,318$, $b = 17,311$, $c = 5,398 \text{ \AA}$, $\beta = 94,14^\circ$, ф. гр. $P2_1/n$. Октаэдры вокруг атомов Cr соединяются цис-вершинами в цепи состава $(\text{Cr}_2\text{F}_9)_n^{3n-}$, связанные между собой атомами Na и Ba. Отмечены элементы сходства и различия структуры I со структурами $\text{Ba}_2\text{CoFeF}_9$, $\text{Ba}_2\text{ZnAlF}_9$ и KPbCr_2F_9 (различия сводятся в основном к характеру разворота и наклона октаэдров в цепях).

С. В. Соболева

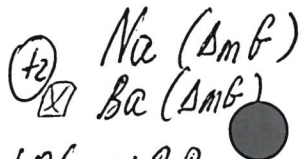
X. 1984, 19, N 5

Ba-Na

1985

106: 183420m The Ba-Na (barium-sodium) system. Pelton, A. D. (Ec. Polytech., Montreal, PQ Can.). *Bull. Alloy Phase Diagrams* 1985, 6(1), 26-9, 83-4 (Eng). The Ba-Na phase diagram was critically assessed. Crystal structure and lattice parameter data are given for the various phases. The free energy of fusion of Na and of Ba are also given.

(pay. group.)



c.A. 1987, 106, N 22

1985

$Ba_2NaNb_5O_{15}$

Savary H., Toledano J.C.,

Phys. Rev. B: Condens.

Matter 1985, 31 (5), 3134-7

T_{tr}

Zarubine 

C.A. 1985, 102, N18, 1584162

"Зависимость от давления для
T-пер перехода в несоразмежуто
газу для $\text{Ba}_2\text{NaV}_{6,5}\text{O}_{15}$ -
зависимость T_{t_2} от давления -
 $+14,2 \pm 0,8^\circ\text{C}/\text{кбар}$

$Ba_2NaNb_5O_{15}$

1986

> 15 Б3168. Бриллюэновская спектроскопия несогласованного $Ba_2NaNb_5O_{15}$ при его фазовом переходе при 105 К. Brillouin spectroscopy of incommensurate $Ba_2NaNb_5O_{15}$ at its 105-K phase transition. Zhang M., Yagi T., Oliver W. F., Scott J. F. «Phys. Rev. B: Condens. Matter», 1986, 33, № 2, 1381—1385 (англ.)

В диапазоне т-р 77—300 К с помощью бриллюэновской спектроскопии (Аг — лазер, $\lambda = 488$ нм) исследованы т-рные зависимости упругих постоянных c_{11} и c_{22} .

T_{tr} ;

X. 1986, 19, N 15

(скорости звука и его затухание в диапазоне частот 28—40 ГГц) сегнетоэлектрич. монокристалла $\text{Ba}_2\text{NaNb}_5\text{O}_{15}$, подвергнутого действию давл. $1,5 \cdot 10^7$ дин/см² и т-ры 593 К в течение 30 мин для устранения явления двойникования. Образец при $T_0 = 105$ К испытывает переход в предположительно несоразмерную фазу, с т-рным гистерезисом 1—5 К в зависимостях c_{11} и c_{22} , имеющих аномалии λ -типа. Форма зависимостей согласуется с теор. предсказаниями модели билинейного взаимодействия деформации с параметром порядка. Используя теорию Ландау—Халатникова, для диапазона т-р вблизи T_0 , где скорость звука падает на 2%, а затухание возрастает на 100%, вычислены времена релаксации и их т-рные зависимости.

В. А. Ступников

1988

Ba₂NaNb₅O₁₅

14 Б3133. Аномалии в интенсивности релеевского и комбинационного рассеяния вблизи сегнетоупругого фазового перехода в кристаллах барийнатриевого ниобата.
 The anomalies of the intensity of the Rayleigh and Raman scattering near the ferroelastic phase transition in the barium sodium niobate crystals / Ivanova S. V., Naumova I. I. // 11th Int. Conf. on Raman Spectrosc.: Proc., London, 5—9 Sept., 1988.— Chichester etc., 1988.— C. 993—994.— Англ.

Tz2

В диапазоне т-р 300—893 К методами релеевского и комбинац. рассеяния (Ar-лазер на $\lambda=514,5$ нм) в цикле нагрева исследовано фазовое поведение монокристалла Ba₂NaNb₅O₁₅, выращенного по методу Чохральского. При $T_{11}=490$ К фиксируется несоразмерный фазовый переход 1-го рода, при $T_1=530$ К несоразмерный переход 2-го рода. При коми. т-ре в спектре КР имеется две интенсивные моды при 270 и 660 см⁻¹. Максимум моды 270 см⁻¹ наблюдается в обл. 510—543 К. Интенсивность моды 660 см⁻¹ с ростом т-ры только уменьшается. При T_{11} происходит переход из ромбич. фазы в несоразмерную, затем при T_1 появляется новая несоразмерная фаза, превращающаяся в районе 820 К в стабильную тетрагон. фазу.

В. А. Ступников

X.1990, N/14

1988

Ba₂NaNb₅O₁₅

20 Б3202. Сегнетоэластические доменные структуры и фазовые переходы в бариево-натриевом ниобате. Ferroelastic domain structures and phase transitions in barium sodium niobate. Jia ng S. S., Surowiec M., Tappel B. K. «J. Appl. Crystallogr.», 1988, 21, № 2, 145—150 (англ.)

В диапазоне т-р 295—581 К методами рентгеновской топографии исследовано фазовое поведение монокристаллов Ba₂NaNb₅O₁₅, выращенных по методу Чохральского. При коми. т-ре большинство границ сегнетоупругих доменов лежит в плоскостях (110) или (110), параметры решетки ромбич. структуры $a = 17,5918$, $b = 17,6256$, $c = 7,9898 \text{ \AA}$ (точечная группа $mm2$). При нагреве до 503 К наблюдаются значит. изменения в доменной структуре, а при 559 К весь кристалл становится монодоменным. Это ниже т-ры (573 К) структурного перехода из ромбич. в тетрагон. фазу. В обл. т-р 523—561 К не обнаружено никаких признаков существования несоразмерной фазы, однако ее появление м. б. ингибирировано наличием термич. градиента в образце.

В. А. Ступников

Х. 1988, 19, № 20

P_{t2}

Ba₂NaNb₅O₁₅

1988

109: 15133p Ferroelastic domain structures and phase transitions in barium sodium niobate. Jiang, S. S.; Surowiec, M.; Tanner, B. K. (Dep. Phys., Durham Univ., Durham, UK DH1 3LE). *J. Appl. Crystallogr.*, 1988, 21(2), 145-50 (Eng). Ferroelastic domains in Ba₂NaNb₅O₁₅ were studied by x-ray Laue and white-beam synchrotron-radiation topog. In Laue topographs contrast was obsd. from domain walls and the domains themselves, the latter being due to anomalous dispersion. Most ferroelastic domain boundaries lay on {110} or {1-10} planes. The contrast from the ferroelastic domain walls suggests that displacements exist within the walls, probability due to walls zig-zagging between {110} planes. As the temp. was raised, significant changes occurred in the domain configuration, and a single-domain state was formed at 559 K, well below the orthorhombic-tetragonal phase transition at 573 K. No evidence for an incommensurate phase or an asseed. domain structure could be found in the samples studied.

(P_{t2})

C.A. 1988, 109, N2

$\text{Na}_2\text{CO}_3 - \text{BaCO}_3$ (м. 28685) / 1988

11 Б3089. Дифференциальный термический анализ фазовых равновесий в смесях безводных карбонатов. II.
 $\text{Na}_2\text{CO}_3 - \text{BaCO}_3$. Differential thermal analysis of phase equilibria in mixtures of anhydrous carbonates. II.
 $\text{Na}_2\text{CO}_3 - \text{BaCO}_3$. Mills R. E., Coyle R. T. «Thermochim. acta», 1988, № 124, 79—88 (англ.)

Методом ДСК изучены фазовые равновесия в системе Na_2CO_3 (I) — BaCO_3 (II). Использованы исходные I и II 99,999% чистоты. Представлена фазовая диаграмма системы I-II, в к-рой образуется эвтектика при 34,6 мол.% II с т. пл. $701,8 \pm 1,9^\circ\text{C}$. В обл. до 5 мол.% II образуются тв. р-ры. Отмечены также полиморфные превращения при $805 \pm 1^\circ\text{C}$ (более 49 мол.% II) и $965 \pm 2^\circ\text{C}$ (более 60 мол.% II). Л. Г. Титов

фаз. равн.

X. 1988, 19, N 11

NaBaVO_4

1988

K BaVO_4

+1

Δ g

109: 177593r Sodium oxide (potassium oxide)-barium oxide-vanadium pentoxide systems. Slobodin, B. V.; Krasnenko, T. I.; Kiseleva, N. V. (Inst. Khim., Sverdlovsk, USSR). *Zh. Neorg. Khim.* 1988, 33(8), 2123-6 (Russ). The sub-solidus phase diagrams were constructed for the title systems from DTA, thermogravimetric, and x-ray phase anal. data. The formation of $\text{K}_2\text{Ba}(\text{VO}_4)_4$ was established and the existence of NaBaVO_4 and KBaVO_4 was confirmed. The thermal behavior of the double vanadates was studied. Free energies of reaction of Ba vanadates with Na and K compds. were calc'd.

C.A. 1988, 109, N 20

$\text{NaBaAsO}_4 \cdot 6\text{H}_2\text{O}$ Om 32387 1989

III: 220272r Thermochimistry of sodium-barium orthoarsenate hexahydrate. Ashlyeva, I. V.; Kasenov, B. K.; Birkharitsyn, V. O. (Karagand. Gos. Univ., Karaganda, USSR). Izv. Vyssh. Uchebn. Zaved., Khim. Khim. Tekhnol. 1989, 32(6), 101-2 (Russ). Isothermal microcalorimetry was used to measure, at 25°, the heats of mixing of BaCl_2 in aq. Na orthoarsenate. The heat of formation of $\text{NaBaAsO}_4 \cdot 6\text{H}_2\text{O}$ was detd. to be $-2874.8 \pm 11.1 \text{ kJ/mol}$. The std. entropies and heat capacities of this compd. and of its anhydride were derived.

(AII_f, S298,

(p)

C.A. 1989, III, N24

Нава Асаду биб 1989
(от ЗХЗ87)

23 Б3044. Термохимия шестиводного натрий-бариевого ортоарсената / Ашилева И. В., Касенов Б. К., Бухарицын В. О. // Изв. вузов. Химия и хим. технол.—1989.—32, № 6.—С. 101—102.—Рус.

В изотермич. условиях при 25° С в микрокалориметре ДАК-1-1А определены теплоты р-рения BaCl_2 (I) при разбавлении моль соли: моль воды 1:5000 и взаимодействия воды. р-ра I с ортоарсенатом натрия. По полученным данным вычислена $\Delta_fH^\circ_{298}$ $\text{NaBaAsO}_4 \cdot 6\text{H}_2\text{O}$ (II), равная $-2874,8 \pm 11,1$ кДж/моль. Косвенными методами вычислены S°_{298} , $C_p^\circ_{298}$ II, соотв. 216,9 и 185,1 Дж/моль·К, а также $\Delta_fH^\circ_{298}$, S°_{298} и $C_p^\circ_{298}$ NaBaAsO_4 , соотв. — 1624,49 кДж/моль, 175,7 и 144,3 Дж/моль·К. Автореферат.

д/т, г. 3
X. 1989, № 23

$\text{Na Ba}(\text{NbO}_3)_n$

1989

110: 203371j. Light scattering investigations of phase transitions in barium sodium niobate. Oliver, William Franklin, III (Univ. Colorado, Boulder, CO USA). 1988. 176 pp. (Eng). Avail. Univ. Microfilms Int., Order No. DA8819691. From *Diss. Abstr. Int. B* 1989, 49(8), 3280.

(Ter)

c.A.1989, 110, n22

Babbar-Naz Babbar Rao S.H., Jiang Z.K.
Babbar-Kaz Babbar Qiao Z.Y., Huang Q.Z.,
1989

(S.H.) CALPHAD: Comput.
Coupling phase diaf-
rams Thermochem. 1989,
13(2), 169-75

Optimization of the
C.A. 1989, 111 N70, 848729

barium borate - sodium borate
(BaB_2O_4 - $\text{Na}_2\text{B}_2\text{O}_4$) and
barium borate - potassium borate
(BaB_2O_4 - $\text{K}_2\text{B}_2\text{O}_4$) binary
phase diagrams.

Na₄BaCu₃F₁₂

1990

16 Б2070. Сложные фториды меди 2+; XII. Кристаллическая структура и ферромагнитные свойства Na₄BaCu₃F₁₂. Complex copper II fluorides: XII. Crystal structure and ferromagnetic properties of Na₄BaCu₃F₁₂ / de Koza A., Renaudin J., Ferey G. // Eur. J. Solid State and Inorg. Chem.— 1990.— 27, № 6.— С. 771—782.— Англ.

(структура)

Проведен РСТА Na₄BaCu₃F₁₂ (λ Mo, 229 отражений, R 0,058). Параметры кубич. решетки: a 16,135 Å, Z 16, ρ (выч.) 4,10, ф. гр. Ia3. Структура м. б. представлена октаэдрич. перовскитоподобным каркасом из искажен. октаэдров [NaCu₃F₁₂], где октаэдры NaF₆ отделены друг от друга октаэдрами CuF₆. Остальные атомы Ba и Na распределены в додекаэдрич. пустотах и образуют мотив Na₃Ba. КЧ Cu по F — 2+2+2 (удлинение октаэдров из-за эффекта Яна-Теллера); Na (окт.) по F 3+3. Обсуждено структурное родство кристаллов с пе-

X. 1991, N 16

ровскитом, $K_4Mn_3F_{12}$, эльпасолитом A_2BF_6 и $Cs_2Ba_2-Cu_3F_{12}$. Межатомные расстояния: Cu—F 1,82—2,41, Na (окт.)—F 2,06—2,43, Ba—F 2,72—2,93, Na (додек.)—F 2,13—2,97 Å. Измерена магн. восприимчивость этих ферромагн. кристаллов при 4—300 K (T_c 9,7 K; θ_p 13,8 K; моль. конст. Кюри 1,43; очень слабое ферромагн. взаимодействие I/k 4,5 K; эф. момент 1,95).

А. Ю. Шашков



1990

Гидропериодат

Na

NaBa(JO₄)_x

ДНРН.

(4) А
Х. 1990, № 15

15 БЗ019 ДЕП. Таблицы рекомендуемых справочных данных ГСССД Р 347-89. Кислородосодержащие соединения йода. Стандартные энталпии образования / Польшко Г. Д., Глыбин В. П., Ситнов А. А.; Всес. н.-и. центр по матер. и веществам Госстандарта СССР.— М., 1990.— 59 с.: ил.— Библиогр.; 58 назв.— Рус.— Деп. в ВНИИКИ 19.03.90, № 617-кк90

Приведены значения энталпии р-рения гидроперидатов натрия и бария, на основании к-рых рассчитаны значения изменений станд. энталпии образования этих соединений из простых в-в, уточнены значения изменения станд. энталпии образования иодатов цезия магния, кальция, бария, метапериодатов калия, йодноватой к-ты, анидроидноватой к-ты оксида йода. Использованы данные авторов, полученные методом калориметрии р-рения в изотермич. калориметре и лит. данные. Таблицы рассчитаны на основе ключевых величин, рекомендуемых рабочей группой СОДАТА. Таблицы аттестованы в кач-ве рекомендуемых справочных данных 26 октября 1989 г. (Протокол № 11).

Автореферат

Над Ви Вэлс

1991

19 Б3084. Диаграммы ликвидус и изучение кристаллизации в системах $\text{BaB}_2\text{O}_4-\text{Na}_2\text{BaB}_2\text{O}_5$ и $\text{BaB}_2\text{O}_4-\text{BaF}_2$ / Галашов Е. Н. // Актуал. вопр. теплофиз. и физ. гидрогазодинам.: 4 Всес. конф. мол. исследователей, Новосибирск, 27—29 марта, 1991: Тез. докл.— Новосибирск, 1991.— С. 38—39.— Рус.

С помощью измерений вязкости образцов изучены фазовые соотношения в системах BaB_2O_4 (I)— $\text{Na}_2\text{BaB}_2\text{O}_5$ (II) и I— BaF_2 (III). Приведены диаграммы ликвидус систем I—II и I—III. Состав и т-ра эвтектики в системе I—III—57 мол.% I и $890 \pm 5^\circ\text{C}$. II плавится инконгруэнтно при $830 \pm 3^\circ\text{C}$. Выращены монокристаллы I.

Л. Г. Титов

Х. 1991, № 19

BaNaZr₂F₁₁

1992

2 Б2059. Кристаллическая структура BaNaZr₂F₁₁: фаза, рекристаллизованная из фторосиликатных стекол. Crystal structure of BaNaZr₂F₁₁: A phase recrystallizing from fluorozirconate glasses /Laval J. P., Abaouz A. //J. Solid State Chem. .—1992.—101, № 1.—С. 18—25.—Англ.

Методом выращивания из расплава получены монокристаллы BaNaZr₂F₁₁ (I) рентгенографически (λ Mo) решена их структура. Кристаллы I тетрагон., ф. гр. $I4_1/a$ (№ 88); $a = 8,223$, с $23,610$ Å; $Z = 8$ ($R = 0,055$ для 2081 отражения). В структуре присутствуют 3 типа анионных полиэдров: квадратные антипризмы $[ZrF_8]^{4+}$ с асимм. расстояниями от Zr^{4+} до противоположных граней (2,01—2,10 и 2,15—2,23 Å), неправильные тригон. призмы $[NaF_6]^{5-}$ и искаженные кубооктаэдры $[BaF_{12}]^{10-}$ с КЧ $Ba^{2+} 10 + 2 [Ba—F] 2,64-2,81$ Å (10 связей) и 3,55 Å (2 связи). Соед. кристаллизуется в новом структурном типе, основанном настыковке вдоль оси Oz слоев $[ZrF_{5,5}]_{nm}$, составленных из сочлененных ребрами и вершинами $[ZrF_8]^{4-}$. Чередованием квадратных антипризм с др.

*Кристал.
Структура*

X. 1994, № 2

слоями, содержащими ряды катионов Ba^{2+} и Na^+ , параллельные оси $0y$ или $0z$, формируются упорядоченные 4^4 квадратные плоскости. Ряды катионов Ba^{2+} ослабляют связи в слоях, благодаря чему подчёркивается присутствие устойчивых единиц $[\text{Na}_2\text{Zr}_4\text{F}_{28+4}]^{14-}$. Это позволяет отнести данную фазу к анионно-избыточному флюориту, характеризующемуся анионными кластерами большого размера. Проведено сравнение структур I, α - и β - $\text{LnZr}_3\text{F}_{15}$, $\text{PrZr}_2\text{F}_{11}$ и $\text{LiTiZr}_5\text{F}_{22}$, KY_3F_{10} .

Ф. М. Спиридонов

возвр
прев

NaBa_3N

1992

Lauch P.E., Simon A.,

Angew. Chem. - 1992, 104,
N 11, C. 1505 - 1506

Борній сульфурнік
хлорний сульфокупр

NaBa_3N -расщеплене
кислотостійкий кремніє-

ніт.

P-21-X-N20, 1993, 20B2

$\text{NaF} - \text{BaF}_2 - \text{ZrF}_4$

1993

120: 174631t Interactions in the system sodium fluoride-barium fluoride-zirconium fluoride. Bakitsyna, A. A.; Emel'yanova, T. A. (Inst. Obshch. Neorg. Khim., Moscow, Russia). *Zh. Neorg. Khim.* 1993, 38(9), 1587-9 (Russ). Physicochem. anal. methods were used to study the system $\text{NaF}-\text{BaF}_2-\text{ZrF}_4$ at the cross-sections $\text{Ba}_2\text{ZrF}_8-\text{Na}_7\text{Zr}_6\text{F}_{31}-\text{ZrF}_4$ and the liquidus line was constructed.

120

1993

c. a. 1994, 120, N 14

NaBa

1994

22 Б2018. Кристаллическая структура NaBa, взаимопроникающий каркас натриевых тетраэдров и бариевых октаэдров. The crystal structure of NaBa, an interpenetrating network of sodium tetrahedra and barium octahedra /Snyder G. J., Simon A. //J. Chem. Soc. Dalton Trans. .—1994, № 7 .—С. 1159—1160 .—Англ.

Кристаллы NaBa (I) получены плавлением смеси Na и Ba в капилляре и послед. охлаждении от 200° С до комн. т-ры со скоростью $1^{\circ}\text{C}\cdot\text{ч}^{-1}$. РСТА I (λ Mo, R1 0,044, кубич. решетка, ф. гр. $Fd\bar{3}m$, Z 48, а 17,027 Å), ρ (выч. 2,59), 293 K, 24 отражения) показана изоструктурность I CdNi_{1-x} , однако у I в отличие от CdNi_{1-x} нет вакансий в позициях, занимаемых атомами Na. Атомы Ba образуют мотив из связанных гранями октаэдров, а атомы Na — из тетраэдров, расположенных между октаэдрами из атомов Ba. Тетраэдры объединяются в так называемую тетраэдр. звезду, характерную для интерметаллич. соединений. Средние межатомные расстояния Ba—Ba, Ba—Na и Na—Na соотв. равны 4,54, 4,27 и 3,72 Å.

В. П. Сиротинкин

Кристал.
Структура

X. 1994, N 22

1995

F: NaBa₄(BN₂)₃

P: 1

10Б243. Кристаллическая структура NaBa[4](BN[2])[3]. Crystal structure of sodium tetrabarium dinitroborate, NaBa[4](BN[2])[3] / Somer M., Herterich Curda J., Peters R., Schnering H. G. von // Z. Kristallogr. - 1995. - 210 7. - С. 529. - Англ.

Палевожелтые кристаллы NaBa[4](BN[2])[3] получены из смеси Ba[3]N[2], BN, NaN[3], Na (отношение 1:2,5:1:8) при 1325К. Избыток Na удален в высоком вакууме при 575К после реакции. Проведен РСТА (293К, 'лямбда'Mo, 76 отраж R(F) 0,025). Параметры кубической решетки: а 7,9168 Å, V 496,2 Å³, Z 2, гр. Im 3m, структурный тип LiCa[4](BN[2])[3]. Мелиатомные связи в линейно анионе (BN[2])₃-B-N 1,337 Å.



РНСХ 1994

№ 12Б23

1995

F: NaBaBO₃

P: 1

12Б233. BaNaBO[3]. BaNaBO[3] / Tu J.-M., Keszler D. A. // Acta crystallogr. C. - 1995. - 51, N 10. - С. 1962-1964. - Англ. Бесцветные пластинчатые кристаллы BaNaBO[3] (I) выращены из стехиометрического расплава соединений Ba(NO[3])[2], Na[2]CO[3]*H[2]O и B[2]O[3], охлаждением от 1053 до 803К со скоростью 6 Кг{-1} и до комнатной температуры - со скоростью 60 Кг{-1}. Проведен РСТА (296К, 'лямбда' Mo 0,71069 Å, 461 наблюдаемых отражений, R 0,033). Параметры моноклинной решетки: a 9,561, b 5,557, c 6,179 Å, 'бета' 98,85°, V 324,4 Å{3}, Z 4, 'rho' (выч.) 4,487, ф. гр. C2/m. Структура состоит из BO[3]-треугольников, NaO[6]-октаэдров, и девятивершинников BaO[9]. Октаэдры NaO[6], соединяясь гранями, образуют цепочки параллельные оси с. Атомы O-октаэдров образуют упаковку ABAB. Октаэдры соединяются ребрами с BaO[9] и вершинами с BO[3]. Структуры I, 'гамма'-Na[2]CO[3] и K[2]CO[3] сходны между собой. Межатомные расстояния: Ba-O 2,759-3,014, Na 1-01 2,367 (сжатый октаэдр), Na 2-01 2,552 и (вытянутый октаэдр), B-O 1,372-1,401 Å.. Кристаллическая структура.

Кристалл
СМР-ФЛ

X. 1996, N 12

1999

F: BaS-Na₂S-H₂O

P: 1.

132:6710 System BaS-Na₂S-H₂O at 60.degree.C.

Busygin, V. M.; Malysh, L. A.; Gaisin, L. G.; Tkachev, K. V.; Prokhorov, A. G.; Volkova, M. F. AO "Khimzavod im. Karpova" Mendeleevsk, Russia Zh. Prikl. Khim. (S.-Peterburg), 72(6), 1025-1026 (Russian) 1999 The joint solv. of barium and sodium sulfides was studied in water at 60.degree.C. Sodium sulfide exhibits an unusually high salting-out a relative to barium sulfide.

C.A. 2000, 132

F: BaS-Na₂S-H₂O

1999

P: 1

132:6714 BaS-Na₂S-H₂O system at 80.degree.C.

Busygin, V. M.; Malysh, L. A.; Gaisin, L. G.; Tkachev, K. V.; Prokhorov, A. G.; Volkova, M. F. AO "Khimzavod im. Karpova" Mendeleevsk, Russia Zh. Neorg. Khim., 44(10), 1742-1743 (Russian) 1999 The joint soly. of barium and sodium sulfides was studied in water at 80.degree.C. Sodium sulfide exhibits an unusually high salting-out a relative to barium sulfide.

C-A 2000, 132